

Relatório ICIST DTC 15/99

Programa para Aplicação de um Modelo Híbrido-Misto de Deslocamento à Análise de Placas

Mário Vicente da Silva

Eduardo M. B. R. Pereira

Outubro de 1999

ÍNDICE

1. <i>Introdução</i>	I
2. <i>Formulação</i>	2
2.1 Condições Fundamentais	2
2.2 Modelo Híbrido-Misto de Deslocamento	4
3. <i>Organização do Programa</i>	7
3.1 Rotinas Principais	7
3.2 Geometria	8
3.3 Funções de Aproximação	8
3.4 Montagem do Sistema Governativo	10
3.4.1 Mudança de Coordenadas	10
3.4.2 Blocos do Sistema Governativo	13
3.4.3 Cálculo dos Operadores Elementares	13
4. <i>Introdução dos Dados</i>	14
4.1 Estrutura do Ficheiro de Dados	14
4.1.1 Nós (1ºBloco)	15
4.1.2 Lados (2ºBloco)	15
4.1.3 Elementos (3ºBloco)	16
4.1.4 Carregamento (4ºBloco)	17
5. <i>Pós-Processamento</i>	19
6. <i>Bibliografia</i>	20
<i>ANEXO A - Exemplo de Aplicação</i>	21

1. INTRODUÇÃO

O presente relatório pretende descrever o modo de utilização/funcionamento de um programa para a análise elástica linear de placas, desenvolvido no âmbito do núcleo de Análise de Estruturas do Instituto de Engenharia de Estruturas Território e Construção do Instituto Superior Técnico, com apoio do Fundação para a Ciência e Tecnologia através do projecto PBICT/C/CEG/2342/95.

Este programa baseia-se numa formulação não convencional de elementos finitos Híbridos-Mistos de Deslocamento. São utilizados Polinómios de Legendre como funções de aproximação de tensões e deslocamentos, para modelar o domínio consideram-se elementos quadrangulares de 4 ou 8 nós.

Este programa considera como acções actuantes na estrutura forças de massa e tensões aplicadas ao longo das fronteiras estáticas.

Este programa foi escrito em *C Standard*, sobre uma plataforma de programação elaborada para o desenvolvimento de programas de elementos finitos para o cálculo de estruturas.

2. FORMULAÇÃO

Neste capítulo apresenta-se um pequeno resumo da formulação dos elementos finitos Híbridos-Mistas de Deslocamento para análise de placas.

2.1 Condições Fundamentais

As condições fundamentais que regem os problemas de elasticidade plana podem ser expressas do seguinte modo,

Compatibilidade	Relações Constitutivas	Equilíbrio
$\boldsymbol{\varepsilon} = D^* \mathbf{u}$ em V (1)	$f\boldsymbol{\sigma} = \boldsymbol{\varepsilon}$ (3)	$D\boldsymbol{\sigma} + \mathbf{b} = 0$ em V (4)
$\mathbf{u} = \bar{\mathbf{u}}$ em Γ_u (2)		$N\boldsymbol{\sigma} = \mathbf{t}$ em Γ_σ (5)

em que,

\mathbf{u} é o vector que agrupa as componentes de deslocamento;

$$\mathbf{u}^T = \begin{Bmatrix} u_x & u_y \end{Bmatrix}$$

$\bar{\mathbf{u}}$ é o vector dos deslocamentos impostos nas fronteiras cinemáticas (Γ_u);

$\boldsymbol{\varepsilon}$ é o vector das componentes do tensor das deformações;

$$\boldsymbol{\varepsilon}^T = \begin{Bmatrix} \varepsilon_{xx} & \varepsilon_{yy} & \varepsilon_{xy} \end{Bmatrix}$$

$\boldsymbol{\sigma}$ é o vector das componentes do tensor das tensões;

$$\boldsymbol{\sigma}^T = \begin{Bmatrix} \sigma_{xx} & \sigma_{yy} & \sigma_{xy} \end{Bmatrix}$$

\mathbf{b} é o vector das forças de massa;

$$\mathbf{b}^T = \begin{Bmatrix} b_x & b_y \end{Bmatrix}$$

\mathbf{t} é o vector das tensões aplicadas nas fronteiras estáticas (Γ_σ);

$$\mathbf{t}^T = \begin{Bmatrix} t_x & t_y \end{Bmatrix}$$

D é o operador diferencial de equilíbrio;

$$D = \begin{bmatrix} \frac{\partial}{\partial x} & . & \frac{\partial}{\partial y} \\ . & \frac{\partial}{\partial y} & \frac{\partial}{\partial x} \end{bmatrix}$$

D^* é o operador diferencial de compatibilidade (transposto de D);

N é a matriz das componentes da normal exterior associada ao operador diferencial de equilíbrio;

f é a matriz de flexibilidade e tem a seguinte configuração no caso de se tratar de um estado plano de tensão (EPT),

$$f = \frac{1}{E} \begin{bmatrix} 1 & -\nu & . \\ -\nu & 1 & . \\ . & . & 2 \cdot (1+\nu) \end{bmatrix}$$

ou de um estado plano de deformação (EPD),

$$f = \frac{1+\nu}{E} \begin{bmatrix} 1-\nu & -\nu & . \\ -\nu & 1-\nu & . \\ . & . & 2 \end{bmatrix}$$

onde E representa o módulo de elasticidade e ν o coeficiente de Poisson.

É ainda de referir que numa fronteira inter-elementar as condições de equilíbrio e de compatibilidade podem ser expressas na seguinte forma:

$$t_{elemento1} - t_{elemento2} = t_{aplicada} \quad (6)$$

$$u_{elemento1} = u_{elemento2} \quad (7)$$

2.2 Modelo Híbrido-Misto de Deslocamento

Neste modelo, são aproximadas de modo independente as tensões e os deslocamentos no domínio:

$$\sigma = S_V \cdot X_V \quad (8) \qquad u = U_V \cdot q_V \quad (9)$$

São igualmente aproximadas as tensões nas fronteiras cinemática,

$$t = S_\Gamma \cdot X_\Gamma \quad (10)$$

sendo S_V , S_Γ e U_V as matrizes das funções de aproximação e X_V , X_Γ , q_V e os vector dos pesos das funções de aproximação.

As condições de equilíbrio e de compatibilidade no domínio (4) e (1) são impostas de forma ponderada sendo utilizadas, respectivamente, como funções de ponderação as funções de aproximação dos deslocamentos e das tensões no domínio:

$$\int_V U_V^T (D\sigma + b) dV = 0 \quad (11)$$

$$\int_V S_V^T \epsilon dV = \int_V S_V^T D^* u dV \quad (12)$$

Paralelamente, a condição de compatibilidade na fronteira cinemática (2) é imposta ponderadamente utilizando as funções de ponderação das tensões na fronteira como funções de ponderação,

$$\int_{\Gamma_\sigma} S_\Gamma^T u d\Gamma_u = \int_{\Gamma_\sigma} S_\Gamma^T \cdot \bar{u} d\Gamma_u \quad (13)$$

Através da integração por partes da equação (11),

$$\int_V (D^* U_V)^T \sigma \, dV - \int_{\Gamma} U_V^T (N\sigma) \, d\Gamma = \int_V U_V^T b \, dV,$$

é possível introduzir as condições de equilíbrio na fronteira (5) e (6) e as aproximações (8) e (10) obtendo-se a equação de equilíbrio do modelo,

$$B_V^T X_V \pm B_{\Gamma}^T X_{\Gamma} = Q_V + Q_{\Gamma} \quad (14)$$

em que,

$$\begin{aligned} B_V &= \int_V S_V^T (D^* U_V) \, dV & B_{\Gamma} &= \int_{\Gamma_u} S_{\Gamma}^T U_V \, d\Gamma_u \\ Q_V &= \int_V U_V^T b \, dV & Q_{\Gamma} &= \int_{\Gamma_{\sigma}} S_V^T t \, d\Gamma_{\sigma} \end{aligned}$$

A equação de compatibilidade no domínio é obtida substituindo a aproximação dos deslocamentos (9) na equação (12),

$$e = B_V q_V \quad (15)$$

onde e representa as deformações generalizadas,

$$e = \int_V S_V^T \epsilon \, dV \quad (16)$$

Substituindo as relações constitutivas (3) e a aproximação (8) na definição das deformações generalizadas (16) é possível escrever as relações constitutivas do modelo de elementos finitos,

$$e = F X_V \quad (17)$$

em que,

$$F = \int_V S_V^T F S_V \, dV$$

A equação de compatibilidade na fronteira é obtida através da introdução da aproximação dos deslocamentos (9) na expressão (13) e tendo em conta a condição de compatibilidade (7),

$$\pm B_{\Gamma} q_V = 0 \quad (18)$$

Combinando as equações de equilíbrio (14), de compatibilidade (15), (18) e das relações constitutivas (17) é possível escrever o sistema governativo para o modelo híbrido -misto de deslocamento, através da eliminação das deformações generalizadas e .

$$\begin{bmatrix} F & -B_V & \cdot \\ B_V^T & \cdot & \pm B_{\Gamma}^T \\ \cdot & \pm B_{\Gamma} & \cdot \end{bmatrix} \begin{Bmatrix} X_V \\ q_V \\ X_{\Gamma} \end{Bmatrix} = \begin{Bmatrix} 0 \\ Q_V + Q_{\Gamma} \\ 0 \end{Bmatrix} \quad (19)$$

3. ORGANIZAÇÃO DO PROGRAMA

Neste capítulo é abordada genericamente a organização do programa por forma a possibilitar um entendimento mais fácil do seu funcionamento, sem se descreverem exaustivamente o modo de programação.

A plataforma de programação sobre a qual foi desenvolvido este programa cria, a partir de um ficheiro de dados, uma estrutura que descreve a topologia do problema. Com base nesta estrutura é posteriormente resolvido o sistema governativo de equações.

A resolução do sistema pode ser feita através de dois métodos distintos. O primeiro consiste no método de resolução iterativo dos gradientes conjugados, sendo o segundo o método de eliminação de Gauss, utilizando a rotina MA47 da biblioteca Harwell para sistemas esparsos e simétricos.

Esta plataforma está preparada para processamento sequencial ou paralelo, sendo para este programa utilizado somente o processamento sequencial.

Deste modo, o programa é constituído por um conjunto de rotinas que definem a posição e a dimensão dos diferentes blocos que constituem o sistema governativo e que calculam os termos deste sistema. É ainda composto por uma rotina de pós-processamento, que executa o tratamento dos resultados obtidos.

3.1 Rotinas Principais

A interligação com a plataforma de programação é feita através das seguintes rotinas:

void LocalStructureSetup () – onde são lidos e introduzidos os dados nas estruturas locais;

int SetupParts (int current_subdomain) – define as organização/dimensões dos blocos que constituem a matriz do sistema governativo;

int ComputeMatrix (int current_subdomain) – rotina na qual se executa a montagem do triângulo superior da matriz do sistema;

int ComputeRhs (int wich_subdomain) – efectua a montagem do vector dos termos independentes.

int PostProc (char *nome) – rotina na qual se executa o pós-processamento.

Estas rotinas são escritas pelo programador e variam consoante a formulação de elementos finitos utilizada.

3.2 Geometria

A modelação da geometria é feita através de três estruturas base, definidas na plataforma de programação: o Nό (*node*) , o Lado (*edge*) e o Elemento (*loop*).

Neste programa consideram-se apenas elementos com 4 lados, sendo cada lado constituído por 2 ou 3 nós, ficando assim definida a sua orientação do primeiro para o último nó.

Existem dois tipos distintos de elementos (os elementos de 4 ou 8 nós). Um elemento é considerado de 8 nós, sempre que pelo menos um dos seus lados tenha 3 nós, quando necessário são considerados nós virtuais a meio dos lados de 2 nós por forma a definir completamente o elemento de 8 nós.

Deste modo o programa permite a utilização simultânea de elementos com diferente número de nós sem que haja problemas de compatibilidade de geometria na estrutura.

3.3 Funções de Aproximação

Para a aproximação das tensões (8) e dos deslocamentos (9) no domínio e das tensões nas fronteiras cinemáticas (10), utilizaram-se polinómios de Legendre. Estas funções de aproximação encontram-se no referencial local (ξ, η) dos elementos, por forma a simplificar as operações de integração necessárias à montagem dos operadores elementares.

A estrutura adoptada para a matriz das funções de aproximação no domínio foi:

$$S_V = \begin{bmatrix} P_\xi^0 P_\eta^0 & \left| P_\xi^0 P_\eta^1 \right. & & \left| P_\xi^n P_\eta^n \right. \\ P_\xi^0 P_\eta^0 & P_\xi^0 P_\eta^1 & \dots \dots & P_\xi^n P_\eta^n \\ P_\xi^0 P_\eta^0 & P_\xi^0 P_\eta^1 & P_\xi^n P_\eta^n & P_\xi^n P_\eta^n \end{bmatrix}$$

$$U_V = \begin{bmatrix} P_\xi^0 P_\eta^0 & \left| P_\xi^0 P_\eta^1 \right. & & \left| P_\xi^n P_\eta^n \right. \\ P_\xi^0 P_\eta^0 & P_\xi^0 P_\eta^1 & \dots \dots & P_\xi^n P_\eta^n \\ P_\xi^0 P_\eta^0 & P_\xi^0 P_\eta^1 & P_\xi^n P_\eta^n & P_\xi^n P_\eta^n \end{bmatrix}$$

representando P_x^i o polinómio de Legendre do grau i na direcção x .

Para formar todas a combinações $P_\xi^i P_\eta^j$ adoptou-se um ciclo no qual, para cada grau do polinómio em ξ se percorria todos os graus do polinómio em η .

Uma estrutura semelhante foi utilizada para a matriz das funções de aproximação das tensões na fronteira,

$$S_\Gamma = \begin{bmatrix} P_\zeta^0 & \left| P_\zeta^i \right. \\ P_\zeta^0 & P_\zeta^i \end{bmatrix} \dots \begin{bmatrix} P_\zeta^0 & \left| P_\zeta^i \right. \\ P_\zeta^0 & P_\zeta^i \end{bmatrix} \dots$$

sendo ζ a coordenada local do lado.

A aproximação das tensões é feita no sistema de coordenadas local dos lados, de modo a possibilitar a obtenção do termo B_Γ através do uso de integrações analíticas pela expressão (27).

Neste caso, podem ser considerados diferentes valores para os graus máximos utilizados na aproximação das tensões nas direcções normal e tangencial. Deste modo, sempre que o grau i for superior ao máximo grau para a tensão numa das direcções, a coluna correspondente não é considerada.

3.4 Montagem do Sistema Governativo

A montagem dos termos que constituem o sistema governativo é realizada através de integrações analíticas, utilizando as propriedades de ortogonalidade dos Polinómios de Legendre. Para realizar estas integrações é necessário recorrer à matriz Jacobiana dado que as funções de interpolação estão escritas no referencial local do elemento.

3.4.1 Mudança de Coordenadas

No caso mais geral (o elemento de 8 nós) obtém-se a seguinte expressão para a transformação de coordenadas:

$$x^k = \sum_{i=1}^8 \varphi_i x_i^k \quad k = 1, 2 \quad (20)$$

onde φ_i são as funções de forma do elemento serendipiano de 8 nós e x_i^k são as coordenadas do nó i na direcção k .

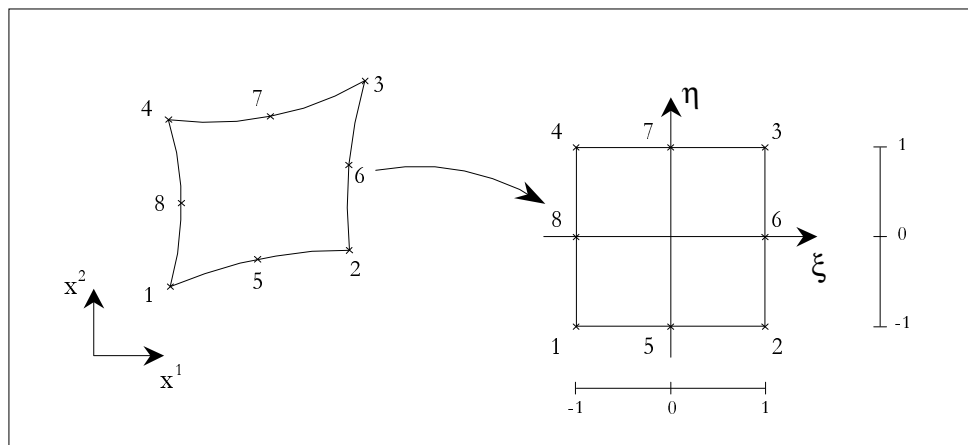


Figura 1 – Mudança de Coordenadas

Sendo as funções φ_i polinómios, a expressão da transformação de coordenadas (20) pode ainda ser desenvolvida na sua forma polinomial:

$$x^k = \alpha_{00}^k + \alpha_{10}^k \xi + \alpha_{01}^k \eta + \alpha_{20}^k \xi^2 + \alpha_{11}^k \xi \eta + \alpha_{02}^k \eta^2 + \alpha_{21}^k \xi^2 \eta + \alpha_{12}^k \xi \eta^2$$

onde,

$$\alpha_{00}^k = \frac{1}{2}(x_5^k + x_6^k + x_7^k + x_8^k) - \frac{1}{4}(x_1^k + x_2^k + x_3^k + x_4^k) \quad \alpha_{11}^k = \frac{1}{4}(x_1^k - x_2^k + x_3^k - x_4^k)$$

$$\alpha_{10}^k = \frac{1}{2}(x_6^k - x_8^k) \quad \alpha_{01}^k = \frac{1}{2}(x_7^k - x_5^k)$$

$$\alpha_{12}^k = \frac{1}{4}(x_3^k - x_1^k + x_2^k - x_4^k) - \frac{1}{2}(x_6^k - x_8^k) \quad \alpha_{21}^k = \frac{1}{4}(x_3^k - x_1^k + x_4^k - x_2^k) - \frac{1}{2}(x_7^k - x_5^k)$$

$$\alpha_{20}^k = \frac{1}{4}(x_1^k + x_2^k + x_3^k + x_4^k) - \frac{1}{2}(x_5^k + x_7^k) \quad \alpha_{02}^k = \frac{1}{4}(x_1^k + x_2^k + x_3^k + x_4^k) - \frac{1}{2}(x_6^k + x_8^k)$$

Para esta transformação de coordenadas a matriz Jacobiana e o seu determinante tomam as seguintes expressões:

$$J = \begin{bmatrix} x^1, \xi & x^2, \xi \\ x^1, \eta & x^2, \eta \end{bmatrix} \quad (21)$$

onde,

$$x^1, \xi = (\alpha_{10}^k + \alpha_{11}^k \eta + \alpha_{12}^k \eta^2) + 2(\alpha_{20}^k + \alpha_{21}^k \eta) \xi$$

$$x^1, \eta = (\alpha_{01}^k + \alpha_{11}^k \xi + \alpha_{21}^k \xi^2) + 2(\alpha_{02}^k + \alpha_{12}^k \xi) \eta$$

$$|J| = J_{00} + J_{10}\xi + J_{01}\eta + J_{20}\xi^2 + J_{11}\xi\eta + J_{02}\eta^2 + J_{30}\xi^3 + J_{21}\xi^2\eta + J_{12}\xi\eta^2 + J_{03}\eta^3 + J_{22}\xi^2\eta^2 \quad (22)$$

com,

$$J_{00} = \alpha_{10}^1 \alpha_{01}^2 - \alpha_{01}^1 \alpha_{10}^2$$

$$J_{22} = 3(\alpha_{21}^1 \alpha_{12}^2 - \alpha_{12}^1 \alpha_{21}^2)$$

$$J_{10} = \alpha_{10}^1 \alpha_{11}^2 - \alpha_{11}^1 \alpha_{10}^2 + 2(\alpha_{20}^1 \alpha_{01}^2 - \alpha_{01}^1 \alpha_{20}^2)$$

$$J_{01} = \alpha_{11}^1 \alpha_{01}^2 - \alpha_{01}^1 \alpha_{11}^2 + 2(\alpha_{10}^1 \alpha_{02}^2 - \alpha_{02}^1 \alpha_{10}^2)$$

$$J_{12} = \alpha_{11}^1 \alpha_{12}^2 - \alpha_{12}^1 \alpha_{11}^2 + 4(\alpha_{21}^1 \alpha_{02}^2 - \alpha_{02}^1 \alpha_{21}^2)$$

$$J_{21} = \alpha_{21}^1 \alpha_{11}^2 - \alpha_{11}^1 \alpha_{21}^2 + 4(\alpha_{20}^1 \alpha_{12}^2 - \alpha_{12}^1 \alpha_{20}^2)$$

$$J_{20} = \alpha_{10}^1 \alpha_{21}^2 - \alpha_{21}^1 \alpha_{10}^2 + 2(\alpha_{20}^1 \alpha_{11}^2 - \alpha_{11}^1 \alpha_{20}^2)$$

$$J_{02} = \alpha_{12}^1 \alpha_{01}^2 - \alpha_{01}^1 \alpha_{12}^2 + 2(\alpha_{11}^1 \alpha_{02}^2 - \alpha_{02}^1 \alpha_{11}^2)$$

$$J_{30} = 2(\alpha_{20}^1 \alpha_{21}^2 - \alpha_{21}^1 \alpha_{20}^2)$$

$$J_{03} = 2(\alpha_{12}^1 \alpha_{02}^2 - \alpha_{02}^1 \alpha_{12}^2)$$

$$J_{11} = 2(\alpha_{10}^1 \alpha_{12}^2 + \alpha_{21}^1 \alpha_{01}^2 - \alpha_{01}^1 \alpha_{21}^2 - \alpha_{12}^1 \alpha_{10}^2) + 4(\alpha_{20}^1 \alpha_{02}^2 - \alpha_{02}^1 \alpha_{20}^2)$$

É ainda possível definir o operador diferencial de compatibilidade, D^* , no sistema de coordenadas locais:

$$D^* = \frac{1}{|J|} D' \quad (23)$$

com,

$$D' = \begin{bmatrix} x^2,_{\eta} & \cdot \\ \cdot & -x^1,_{\eta} \\ -x^1,_{\eta} & x^2,_{\eta} \end{bmatrix} \frac{\partial}{\partial \xi} - \begin{bmatrix} x^2,_{\xi} & \cdot \\ \cdot & -x^1,_{\xi} \\ -x^1,_{\xi} & x^2,_{\xi} \end{bmatrix} \frac{\partial}{\partial \eta}$$

podendo também D' ser escrito na seguinte forma:

$$D' = (\mathcal{D}_{21}\xi^2 + 2\mathcal{D}_{12}\xi\eta + \mathcal{D}_{11}\xi + 2\mathcal{D}_{02}\eta + \mathcal{D}_{10}) \frac{\partial}{\partial \xi} - (\mathcal{D}_{12}\eta^2 + 2\mathcal{D}_{21}\xi\eta + \mathcal{D}_{11}\eta + 2\mathcal{D}_{20}\xi + \mathcal{D}_{10}) \frac{\partial}{\partial \eta}$$

sendo,

$$\mathcal{D}_{ij} = \begin{bmatrix} \alpha_{ij}^2 & \cdot \\ \cdot & -\alpha_{ij}^1 \\ -\alpha_{ij}^1 & \alpha_{ij}^2 \end{bmatrix}$$

A matriz n de transformação das coordenadas locais do lado nas coordenadas globais (x, y) tem a seguinte expressão:

$$n = \frac{1}{\sqrt{n_x^2 + n_y^2}} n' \quad (24)$$

$$n' = \begin{bmatrix} n_x & -n_y \\ n_y & n_x \end{bmatrix}, \quad n_x = \frac{\partial y}{\partial \zeta}, \quad n_y = -\frac{\partial x}{\partial \zeta}$$

onde ζ é a coordenada local do lado, tomando os valores $\pm\xi$ ou $\pm\eta$ consoante o lado em questão.

3.4.2 Blocos do Sistema Governativo

Adoptada a mudança de coordenadas (20), os blocos que constituem o sistema governativo podem ser expressos na seguinte forma:

$$F = \int_{-1}^1 \int_{-1}^1 S_V^T f S_V |J| d\xi d\eta \quad (25)$$

$$B_V = \int_{-1}^1 \int_{-1}^1 S_V^T (D' U_V) d\xi d\eta \quad (26)$$

$$B_\Gamma = \int_{-1}^1 n' S_\Gamma^T U_\Gamma d\zeta \quad (27)$$

$$Q_V = \int_{-1}^1 \int_{-1}^1 U_V^T \cdot b |J| d\xi d\eta \quad (28)$$

$$Q_\Gamma = \int_{-1}^1 U_V^T \cdot n' t d\zeta \quad (29)$$

O vector das tracções aplicadas na fronteira (t), tal como a aproximação das tensões na fronteira cinemática, está escrito nas coordenadas locais do respectivo lado.

3.4.3 Cálculo dos Operadores Elementares

Com base nas expressões (25) a (29) e tendo em conta o tipo de aproximações adoptadas e as definições (22) a (24) é possível com base numa tabela de integrações como a apresentada no anexo A em [4], proceder à montagem dos operadores para cada elemento.

4. INTRODUÇÃO DOS DADOS

A introdução de dados é feita através de um ficheiro ASCII, cujo nome é o primeiro parâmetro de execução do programa.

A versão actual do programa é muito limitada quanto a detecção de dados mal introduzidos, pelo que o utilizador deve ser cuidadoso na criação do ficheiro de dados. Qualquer valor mal introduzido pode provocar a interrupção do programa ou produzir resultados não pretendidos.

De seguida descreve-se detalhadamente a estrutura do ficheiro de dados, sendo apresentado em anexo um exemplo de aplicação.

4.1 Estrutura do Ficheiro de Dados

A primeira linha do ficheiro deverá conter o título do exemplo a testar, não devendo este ter mais de 80 caracteres.

Seguem-se 4 blocos nos quais se fornece a informação necessária para a definição dos nós, dos lados, dos elementos e do carregamento. Para assinalar o final de cada bloco dever-se-á introduzir uma linha com o algarismo 0 (zero).

A última linha do ficheiro de dados deverá ser constituída dois números inteiros, os quais definem:

- i) o número de subdomínios, devendo este tomar sempre o valor 1 (uma vez que não estamos a utilizar um processamento em paralelo);
- ii) o modo de resolução, correspondendo o valor 0 ao modo de resolução iterativo e o valor 6 ao modo de resolução directo.

4.1.1 Nós (1° Bloco)

Cada linha do 1° bloco deverá ter a seguinte estrutura:

<i>id</i>	<i>x</i>	<i>y</i>	<i>idl</i>
-----------	----------	----------	------------

sendo,

<i>id</i>	número de identificação do nó (inteiro positivo)
<i>x</i>	coordenada do nó segundo x
<i>y</i>	coordenada do nó segundo y
<i>idl</i>	número de identificação de um lado que contem o nó

4.1.2 Lados (2° Bloco)

A estrutura das linhas do 2° bloco é:

<i>id</i>	<i>nmos</i>	<i>idnⁱ</i> ... <i>idn^{nmos}</i>	<i>eesq</i>	<i>edir</i>	<i>lccw</i>	<i>lcw</i>	<i>rccw</i>	<i>rcw</i>	<i>apn</i>	<i>aptg</i>	<i>gX_F</i>
-----------	-------------	--	-------------	-------------	-------------	------------	-------------	------------	------------	-------------	-----------------------

sendo,

<i>id</i>	número de identificação do lado (inteiro positivo)
<i>nmos</i>	número de nós do lado (2 ou 3)
<i>idnⁱ</i>	número de identificação do nó <i>i</i>
<i>eessq</i>	número de identificação do elemento à esquerda do lado
<i>edir</i>	número de identificação do elemento à direita do lado
<i>lccw, lcw, rccw, rcw</i>	número de identificação dos lados adjacentes (fig. 2)
<i>apn</i>	toma os valores 0 ou -1 consoante se pretenda libertar ou restringir o deslocamento na direcção normal ao lado
<i>aptg</i>	toma os valores 0 ou -1 consoante se pretenda libertar ou restringir o deslocamento na direcção tangente ao lado
<i>gX_F</i>	grau do polinómio de Legendre para a aproximação das tensões nas fronteiras cinemáticas

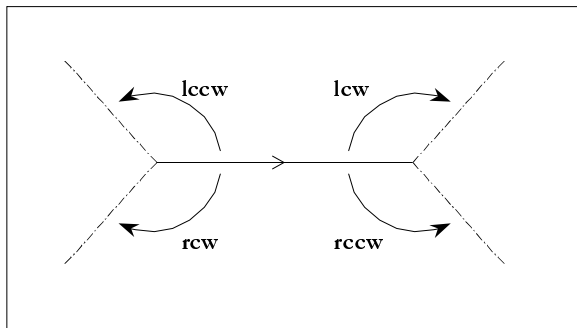


Figura 2 – Identificação dos Lados Adjacentes

4.1.3 Elementos (3° Bloco)

A estrutura das linhas do 3° bloco é:

<i>id</i>	<i>idl</i>	<i>sd</i>	<i>gX</i>	<i>gQv</i>	<i>E</i>	<i>v</i>	ept/epd
-----------	------------	-----------	-----------	------------	----------	----------	---------

sendo,

- id*** número de identificação do elemento (inteiro positivo)
- idl*** número identificação de um lado que pertence ao elemento
- sd*** identificação do subdomínio (deve ter sempre o valor 1)
- gX*** grau do polinómio de Legendre para a aproximação das tensões no domínio
- gQv*** grau do polinómio de Legendre para a aproximação dos deslocamentos no domínio
- E*** valor do módulo de Young
- v*** valor do coeficiente de Poisson
- ept/epd** estado plano de tensão (ept) ou estado plano de deformação (epd)

4.1.4 Carregamento (4° Bloco)

A estrutura das linhas do 4° bloco é:

<i>id</i>	E/L	<i>idc</i>	<i>dir</i>	<i>nval</i>	<i>val</i> ¹ ... <i>val</i> ^{<i>nval</i>}
-----------	-----	------------	------------	-------------	---

sendo,

- id*** número de identificação do carregamento (inteiro positivo)
- E/L** o carácter E (*edge*) ou L (*loop*) identificam, respectivamente, se a carga se encontra aplicada na fronteira ou elemento
- idc*** número de identificação do lado/elemento carregado
- dir*** direcção do carregamento, podendo tomar os valores 0 ou 1
- nval*** número de valores da carga fornecidos
- val*^{*i*}** valor da carga na posição *i*

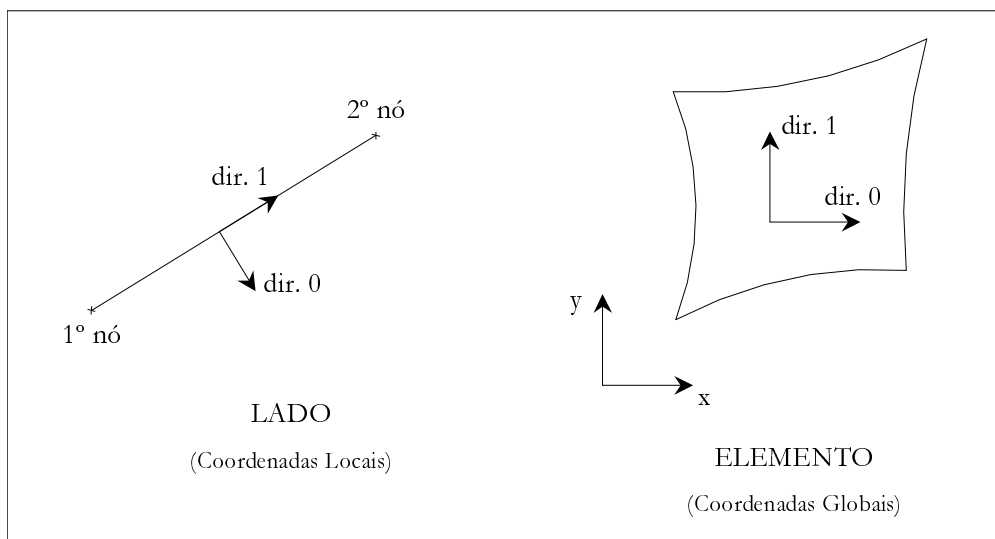
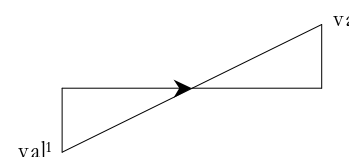
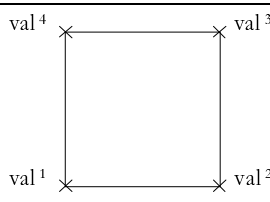
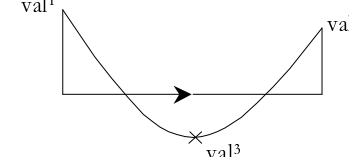
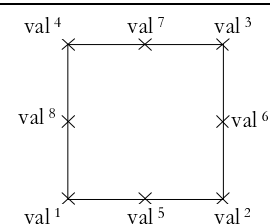


Figura 3 – Direcção do Carregamento

<i>nval</i>	Carga Aplicada no Lado (E)	<i>nval</i>	Carga Aplicada no Elemento (L)
1		1	carga uniformemente distribuída
2		4	
3		8	

5. PÓS-PROCESSAMENTO

Como resultado do pós-processamento o programa cria 2 ficheiros:

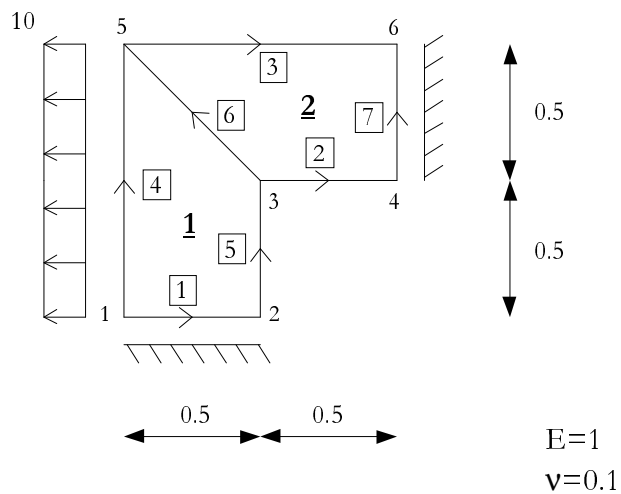
- i) o ficheiro com a extensão *.fis*, contém o valor das tensões e deslocamentos no domínio, sendo o número de pontos nos quais se pretende calcular estes valores introduzido pelo utilizador durante a execução do pós -processamento.
- ii) o ficheiro com a extensão *.sol*, onde se armazena, em formato binário de dupla precisão, a solução do sistema. São escritos em primeiro lugar os valores de X_v (para todos os elementos) seguidos dos valores de q_v (igualmente para todos os elementos) e finalmente os valores X_Γ (para todas as fronteiras cinemáticas), sendo a ordem dos valores definida pela estrutura adoptada para as matrizes das funções de aproximação (cap. 3.3).

Para uma análise mais fácil dos resultados obtidos, poder-se-á recorrer a um programa auxiliar que executa uma representação gráfica, utilizando os ficheiros das soluções e da entrada de dados.

6. BIBLIOGRAFIA

- [1] E. M. B. R. Pereira, *Elementos Finitos de Tensão - Aplicação à Análise Elástica de Estruturas*, Tese de doutoramento, Universidade Técnica de Lisboa, (1993);
- [2] I. Cismasiu, J. P. Moitinho de Almeida, L. M. S. Castro e D. C. Harbis, *Parallel Solution Techniques for Hybrid Mixed Finite Element Models*, in Innovative Computational Methods for Structural Mechanics, Edited by M Papadrakakis and B.H.V. Topping, Saxe-Coburg Publications, Chapter 6, pp. 109-125, (1999);
- [3] *Harwell Subroutine Library*, Realease 11 – Vol. I, Theoretical Studies Department of AEA Technology, pp.377-384, UK (1993);
- [4] M. Vicente da Silva e E. M. B. R. Pereira, *Programa para Aplicação de um Modelo Híbrido-Misto de Tensão à Análise de Placas*, Relatório ICIST DTC 12/99, (1999).

ANEXO A - EXEMPLO DE APLICAÇÃO



Nota: as tensões nas fronteiras cinemáticas e deslocamentos no domínio foram aproximados por polinómios de Legendre do 5º grau, sendo utilizados polinómios do 6º grau para a aproximação das tensões no domínio.

Ficheiro de entrada de dados:

```

exemplo de placas
1 0.0000 0.0000 1
2 0.5000 0.0000 5
3 0.5000 0.5000 2
4 1.0000 0.5000 2
5 0.0000 1.0000 3
6 1.0000 1.0000 3
0
1 2 1 2 1 0 4 5 5 4 -1 0 5
2 2 3 4 2 0 6 7 7 5 0 0 5
3 2 5 6 0 2 4 7 7 6 0 0 5
4 2 1 5 0 1 1 3 6 1 0 0 5
5 2 2 3 1 0 1 6 2 1 0 0 5
6 2 3 5 1 2 5 4 3 2 0 0 5
7 2 4 6 2 0 2 3 3 2 -1 0 5
0
1 6 1 6 5 1.0 .1 ept
2 7 1 6 5 1.0 .1 ept
0
1 E 4 0 1 -10
0
1 0

```

Listagem do ficheiro .lf:

- ELEMENTO 1 -							
X	Y	Sxx	Syy	Sxy	Ux	Uy	
0.5000	0.5000	6.9308e+01	1.3610e+01	3.0129e+01	-2.3934e+01	-1.4492e+01	
0.2500	0.7500	1.2987e+01	1.1564e-01	9.3599e-01	-1.3585e+01	-1.1474e+00	
0.0000	1.0000	9.1267e+00	1.4755e+00	2.3106e+00	-2.0336e+00	1.2806e+01	
0.5000	0.2500	2.5056e+00	-3.3903e+01	-1.3936e-01	-4.3995e+01	-9.2124e+00	
0.2500	0.3750	8.8975e+00	2.9293e-01	1.0879e+01	-3.7767e+01	4.7360e-02	
0.0000	0.5000	1.0047e+01	8.6835e+00	4.0703e-01	-3.2199e+01	1.2952e+01	
0.5000	0.0000	-2.9613e+00	-4.0346e+01	3.9378e-01	-4.9972e+01	2.4415e-10	
0.2500	0.0000	4.1588e+00	3.8466e-01	1.0448e+00	-5.0806e+01	6.9560e-11	
0.0000	0.0000	8.2905e+00	3.6171e+01	-4.8277e-01	-5.2308e+01	2.1512e-10	

- ELEMENTO 2 -							
X	Y	Sxx	Syy	Sxy	Ux	Uy	
1.0000	0.5000	4.4670e+01	1.6002e+00	-1.3134e+00	1.8458e-10	-2.5984e+01	
1.0000	0.7500	1.9573e+01	-5.2003e-02	-4.2029e-01	7.6851e-11	-2.6729e+01	
1.0000	1.0000	-3.9587e+00	-1.1995e+00	-6.1923e-01	-1.2453e-10	-2.6937e+01	
0.7500	0.5000	4.3698e+01	-1.3691e+00	-3.5599e-01	-1.0874e+01	-2.3079e+01	
0.6250	0.7500	1.8326e+01	1.9890e+00	-9.2021e-01	-7.3300e+00	-1.9974e+01	
0.5000	1.0000	1.0433e+00	5.8110e-01	4.2854e-01	1.3324e+00	-1.4763e+01	
0.5000	0.5000	7.6919e+01	1.8168e+01	3.5108e+01	-2.3934e+01	-1.4492e+01	
0.2500	0.7500	1.5845e+01	6.7375e-01	2.3333e+00	-1.3585e+01	-1.1474e+00	
0.0000	1.0000	8.1293e+00	-1.3199e-01	1.2449e+00	-2.0336e+00	1.2806e+01	